

II. Skalare Teilchen: Das Klein-Gordon-Feld

II.1 Kontinuumsmechanik in 1+1 Dimensionen:

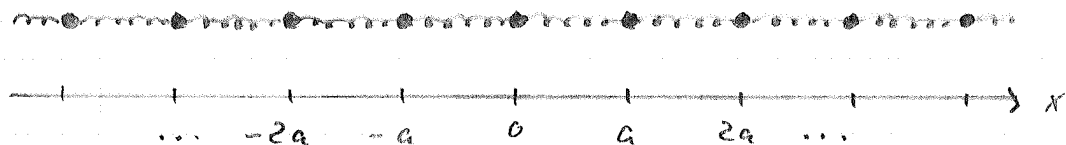
longitudinal schwingende Saite

Ziel: Verallgemeinerung des Lagrange-Formalismus' von einem System mit diskreten Freiheitsgraden (z.B. n Punktmassen) auf ein System mit kontinuierlichen Freiheitsgraden (z.B. Feld als Funktion des Ortes).

Beispiel: longitudinal schwingende "Saite"

Schritt 1:

Saite als Kette diskreter Atome, die mit ihren nächsten Nachbarn über Federn wechselwirken (gleiche Massen m , gleiche Federkonstanten D , $\omega_0^2 = \frac{D}{m}$)



- Ruhelage des n -ten Atoms: $x_n = na$, $-N \leq n \leq N$
- generalisierte Koordinaten:
 $q_n(t)$ = Auslenkung des n -ten Atoms aus seiner Ruhelage
- Vereinfachung: $N \rightarrow \infty$ (\Rightarrow keine Randeffekte)

\Rightarrow kinet. Energie des n -ten Atoms: $T_n = \frac{1}{2} m \dot{q}_n^2$

pot. Energie der n -ten Feder: $V_n = \frac{1}{2} m \omega_0^2 (q_{n+1} - q_n)^2$

2) Lagrange-Fkt.:

$$L = \sum_{n=-\infty}^{\infty} (T_n - V_n) = \frac{1}{2} m \sum_{n=-\infty}^{\infty} \left\{ \dot{q}_n^2 - \omega_0^2 (q_{n+1} - q_n)^2 \right\}$$

Euler-Lagrange: $\frac{d}{dt} \frac{\partial L}{\partial \dot{q}_n} - \frac{\partial L}{\partial q_n} = 0$

2) Bewegungsgleichung:

$$\ddot{q}_n = \omega_0^2 (q_{n+1} - 2q_n + q_{n-1})$$

Lösungsansatz:

$$q_n(t) = A e^{i(kx_n - \omega t)} \quad (\text{ebene Welle})$$

$$\Rightarrow q_{n+1}(t) = q_n(t) e^{\pm ika}$$

$$\ddot{q}_n(t) = -\omega^2 q_n(t)$$

$$2) \quad \omega^2 = 2\omega_0^2 (1 - \cos(ka)) \quad (\text{Dispersionrelation})$$

Insbesondere ergibt sich für kleine Impulse k :

$$\cos(ka) \approx 1 - \frac{1}{2} k^2 a^2$$

$$\Rightarrow \omega = \pm \omega_0 k a \quad \leadsto \text{linear in } k$$

$$\leadsto \text{Phasengeschwindigkeit: } \left| \frac{\omega}{k} \right| = \omega_0 a =: c$$

$$(\text{Höhere Ordnungen: } \cos(ka) = 1 - \frac{1}{2} k^2 a^2 + \mathcal{O}((ka)^4))$$

$$2) \quad \left| \frac{\omega}{k} \right| = \omega_0 a (1 + \mathcal{O}((ka)^2)) = c(k)$$

Schritt 2:Kontinuumslimes:

$$a \longrightarrow 0$$

mit der Nebenbedingung

$$\beta := \frac{m}{a} = \text{const.}, \quad c_0 = \omega_0 a = \text{const}$$

generalisierte Koordinaten: $q_n(t) \equiv q(x_n, t) \longrightarrow q(x, t)$,d. h. der diskrete Index n wird durch den kontinuierlichen Parameter x ersetzt.

(Beachte: x_n ist keine zeitabhängige Variable, sondern die konstante Ruhelage des n -ten Atoms. Ebenso ist x keine zeitabhängige Variable, sondern parametrisiert - wie die Zeit t - die dynamischen Variablen $q(x, t)$ und $\dot{q}(x, t)$)

$$\begin{aligned} \Rightarrow T &= \sum_{n=-\infty}^{\infty} \frac{1}{2} m \dot{q}_n^2 = \sum a \cdot \frac{1}{2} \frac{m}{a} \dot{q}^2(x_n, t) \\ &= \sum \Delta x \frac{1}{2} \beta \dot{q}^2(x_n, t) \\ &\xrightarrow{a \rightarrow 0} \int_{-\infty}^{\infty} dx \frac{1}{2} \beta \dot{q}^2(x, t) \end{aligned}$$

$$\begin{aligned} V &= \sum_{n=-\infty}^{\infty} \frac{1}{2} m \omega_0^2 (q_{n+1}(t) - q_n(t))^2 \\ &= \sum a \frac{1}{2} \frac{m}{a} (\omega_0 a)^2 \left(\frac{q_{n+1}(t) - q_n(t)}{a} \right)^2 \\ &= \sum \Delta x \frac{1}{2} \beta c_0^2 \left(\frac{q(x_{n+a}, t) - q_n(x, t)}{a} \right)^2 \\ &\rightarrow \int_{-\infty}^{\infty} dx \frac{1}{2} \beta c_0^2 \left(\frac{\partial q(x, t)}{\partial x} \right)^2 \end{aligned}$$

$$\begin{aligned} \Rightarrow L &\rightarrow \int_{-\infty}^{\infty} dx \left[\frac{1}{2} \beta \dot{q}^2(x, t) - \frac{1}{2} \beta c_0^2 \left(\frac{\partial q(x, t)}{\partial x} \right)^2 \right] \\ &=: \mathcal{L} \left(q, \frac{\partial q}{\partial t}, \frac{\partial q}{\partial x} \right) \quad \text{"Lagrange-Dichte"} \\ &\quad \text{(i. d. D. i. n. s. i. n. e.)} \end{aligned}$$

Bewegungsgleichung:

$$\ddot{q}_m = \omega_0^2 (q_{m+1} - 2q_m + q_{m-1}) = (\omega_0 a)^2 \frac{1}{a} \left[\frac{q_{m+1} - q_m}{a} - \frac{q_m - q_{m-1}}{a} \right]$$

$$\hookrightarrow \ddot{q}(x, t) = c_0^2 \frac{\partial^2 q(x, t)}{\partial x^2}$$

$$\Leftrightarrow \square q(x, t) = 0 \quad \text{mit} \quad \square := \frac{1}{c_0^2} \frac{\partial^2}{\partial t^2} - \frac{\partial^2}{\partial x^2}$$

Lösungen: $q(x, t) = A e^{i(kx - \omega t)}$ mit $\omega = \pm c_0 k$

(konstante Phasengeschwindigkeit für alle k ,
da die $\mathcal{O}(ka^2)$ -Korrekturen für $a \rightarrow 0$ verschwinden)

II.2 Klassische Theorie skalares relativistischer Felder

II.2.1 Lagrange Formalismus

$\phi(x)$ skalares Feld (in 3+1 Dimensionen, $x = \begin{pmatrix} t \\ \vec{x} \end{pmatrix}$)

Wirkung: $S = \int dt L = \int_{\Omega} d^4x \mathcal{L}(\phi, \partial_{\mu} \phi)$

auf einem Gebiet Ω

Hamilton'sches Prinzip:

$S = \text{extremal}$ bzgl. Variationen $\phi \rightarrow \phi + \delta\phi$

mit $\delta\phi = 0$ auf dem Rand von Ω :

$$\delta S = \int_{\Omega} d^4x \left\{ \frac{\partial \mathcal{L}}{\partial \phi} \delta\phi + \frac{\partial \mathcal{L}}{\partial (\partial_{\mu} \phi)} \delta(\partial_{\mu} \phi) \right\} = 0$$

$$\delta(\partial_{\mu} \phi) = \partial_{\mu} \delta\phi$$

$$\Rightarrow 0 = \int_{\Omega} d^4x \left\{ \frac{\partial \mathcal{L}}{\partial \phi} \delta \phi + \underbrace{\partial_{\mu} \left(\frac{\partial \mathcal{L}}{\partial (\partial_{\mu} \phi)} \delta \phi \right) - \left(\partial_{\mu} \frac{\partial \mathcal{L}}{\partial (\partial_{\mu} \phi)} \right) \delta \phi}_{\text{kann in ein Integral über den Rand } \partial \Omega \text{ umgewandelt werden}} \right\}$$

kann in ein Integral über den Rand $\partial \Omega$ umgewandelt werden
 → trägt nicht bei, da $\delta \phi = 0$ auf $\partial \Omega$.

$$= \int_{\Omega} d^4x \left\{ \frac{\partial \mathcal{L}}{\partial \phi} - \partial_{\mu} \frac{\partial \mathcal{L}}{\partial (\partial_{\mu} \phi)} \right\} \delta \phi$$

$\delta \phi$ beliebig

$$\Rightarrow \boxed{\frac{\partial \mathcal{L}}{\partial \phi} - \partial_{\mu} \frac{\partial \mathcal{L}}{\partial (\partial_{\mu} \phi)} = 0} \quad (\text{Euler-Lagrange-Gleichung})$$

II. 2.2 Hamilton-Formalismus

(wichtig für die spätere Quantisierung der Felder)

klass. Mechanik für Punkt-Teilchen: $L = L(\{q_i\}, \{\dot{q}_i\})$

kanon. konj. Impuls: $p_i = \frac{\partial L}{\partial \dot{q}_i}$

Hamilton-Fkt.: $H = \sum_i p_i \dot{q}_i - L$

Feldtheorie: $L = \int d^3x \mathcal{L}(\phi(\vec{x}, t), \dot{\phi}(\vec{x}, t), \vec{\nabla} \phi(\vec{x}, t))$

diskretisiertes Integral:

← Volumenelement

$$L \approx \sum_i \Delta V_i \mathcal{L}_i(\phi_i(t), \dot{\phi}_i(t), \vec{\nabla} \phi_i(t))$$

($\phi_i(t) \equiv \phi(\vec{x}_i, t)$,

$\vec{\nabla} \phi_i$ definiert über Differenzenquotienten mit nächsten Nachbarn, spielt hier keine größere Rolle.)

$$\Rightarrow p_j(t) = \frac{\partial \mathcal{L}}{\partial \dot{\phi}_j(t)} = \Delta V_j \frac{\partial \mathcal{L}_j}{\partial \dot{\phi}_j(t)} \equiv \Delta V_j \pi_j(t)$$

mit

$$\pi_j(t) = \frac{p_j(t)}{\Delta V_j} = \frac{\partial \mathcal{L}_j}{\partial \dot{\phi}_j(t)}$$

$$\hookrightarrow H = \sum_i \Delta V_i (\pi_i \dot{\phi}_i - \mathcal{L}_i) \equiv \sum_i \Delta V_i \mathcal{H}_i$$

Übergang zum Kontinuum: $\Delta V_i \rightarrow d^3x$

$$\begin{aligned} \hookrightarrow \pi(x) &= \frac{\partial \mathcal{L}}{\partial \dot{\phi}(x)} \quad \text{zu } \phi(x) \text{ konjugierte Impulsdichte} \\ H &= \int d^3x \mathcal{H}(x) \\ \mathcal{H}(x) &= \pi(x) \dot{\phi}(x) - \mathcal{L} \quad \text{Hamilton-Dichte} \end{aligned}$$

(Bemerkung:

Streng genommen müssten wir schreiben

$$\pi(x) = \left. \frac{\partial \mathcal{L}}{\partial \dot{\phi}} \right|_{\phi = \phi(x), \partial_\mu \phi = \partial_\mu \phi(x)}$$

("normale" Ableitung nach $\dot{\phi}$, keine Funktionalableitung!)

Beispiel:

$$\mathcal{L} = \frac{1}{2} [(\partial_\mu \phi)(\partial^\mu \phi) - m^2 \phi^2] = \frac{1}{2} [\dot{\phi}^2 - (\vec{\nabla} \phi)^2 - m^2 \phi^2]$$

Euler-Lagrange-Gleichung: [→ Übung]

$$(\partial_\mu \partial^\mu + m^2) \phi = 0 \quad \text{Klein-Gordon-Gl. !}$$

$$\begin{aligned} \pi(x) = \dot{\phi}(x) \Rightarrow \mathcal{H} = \dot{\phi}^2 - \mathcal{L} &= \frac{1}{2} [\dot{\phi}^2 + (\vec{\nabla} \phi)^2 + m^2 \phi^2] \\ &= \frac{1}{2} [\pi^2 + (\vec{\nabla} \phi)^2 + m^2 \phi^2] \end{aligned}$$

II. 2.3 Das Noether's - Theorem

Betrachte eine infinitesimale kontinuierliche Transformation des Feldes:

$$\phi(x) \rightarrow \phi'(x) = \phi(x) + \alpha \Delta \phi(x)$$

\uparrow infinites. Parameter \uparrow Deformation des Feldes

Daraus ergibt sich eine Transformation der Lagrange-Dichte

$$\mathcal{L} \rightarrow \mathcal{L}' = \mathcal{L} + \alpha \Delta \mathcal{L}$$

mit

$$\begin{aligned} \alpha \Delta \mathcal{L} &= \frac{\partial \mathcal{L}}{\partial \phi} (\alpha \Delta \phi) + \frac{\partial \mathcal{L}}{\partial (\partial_\mu \phi)} \partial_\mu (\alpha \Delta \phi) \\ &= \alpha \partial_\mu \left(\frac{\partial \mathcal{L}}{\partial (\partial_\mu \phi)} \Delta \phi \right) + \alpha \underbrace{\left[\frac{\partial \mathcal{L}}{\partial \phi} - \partial_\mu \frac{\partial \mathcal{L}}{\partial (\partial_\mu \phi)} \right]}_{= 0} \Delta \phi \\ &\quad \text{(Euler-Lagrange-Gl.)} \end{aligned}$$

$$= \alpha \partial_\mu \left(\frac{\partial \mathcal{L}}{\partial (\partial_\mu \phi)} \Delta \phi \right)$$

"Symmetrietransformationen"

= Transformationen, die die Bewegungsgln. invar. lassen.

Das ist der Fall, wenn $\mathcal{L}' = \mathcal{L} + \alpha \partial_\mu J^\mu$ mit einem beliebigen Vektorfeld $J^\mu(x)$

($\Rightarrow S \rightarrow S' = S +$ Oberflächenintegral über J^μ , das keinen Beitrag zur Bewegungsgl. liefert, da $\delta \phi(x) = 0$ auf $\partial \Omega$ vorausgesetzt wurde.)

Für Symmetrietransformationen gilt also

$$\propto \partial_\mu \left(\frac{\partial \mathcal{L}}{\partial (\partial_\mu \phi)} \Delta \phi \right) \stackrel{!}{=} \propto \partial_\mu J^\mu$$

2, erhaltener Strom:

$$\partial_\mu j^\mu(x) = 0 \quad \text{mit} \quad j^\mu(x) := \frac{\partial \mathcal{L}}{\partial (\partial_\mu \phi)} \Delta \phi(x) - J^\mu(x)$$

Jede kontinuierliche Symmetrie ist mit einem erhaltenen Strom verbunden!

erhaltene Ladung:

$$\begin{aligned} \partial_\mu j^\mu(x) &= \partial_0 j^0(x) + \partial_k j^k(x) \\ &= \frac{\partial}{\partial t} j^0(t, \vec{x}) + \vec{\nabla} \cdot \vec{j}(t, \vec{x}) \end{aligned}$$

$$\begin{aligned} \Rightarrow \frac{d}{dt} \int_V d^3x j^0(t, \vec{x}) &= \int_V d^3x \frac{\partial}{\partial t} j^0(t, \vec{x}) \\ &= - \int_V d^3x \vec{\nabla} \cdot \vec{j}(t, \vec{x}) \\ &= - \int_{\partial V} d\vec{S} \cdot \vec{j}(t, \vec{x}) = 0 \end{aligned}$$

unter der Annahme, dass $\vec{j} = 0$ auf ∂V

2, erhaltene Ladung:

$$\frac{d}{dt} Q(t) = 0 \quad \text{mit} \quad Q(t) := \int_V d^3x j^0(t, \vec{x})$$

Bemerkung:

In den meisten Fällen ist V der gesamte dreidim. Raum.
Die Ladung ist dann erhalten, wenn \vec{j} im Unendlichen genügend schnell abfällt

- Falls die Symmetrietransf. mehrere Felder umfasst, muss über diese Felder summiert werden:

$$j^\mu(x) = \sum_n \frac{\partial \mathcal{L}}{\partial (\partial_\mu \phi_n)} \Delta \phi_n(x) - j^\mu(x)$$

Beispiel: komplexes Klein-Gordon-Feld

$$\phi = \phi_1 + i \phi_2 \quad (\phi_1, \phi_2 \text{ reelle Felder})$$

$$\mathcal{L} = |\partial_\mu \phi|^2 - m^2 |\phi|^2 \equiv \partial_\mu \phi^* \partial^\mu \phi - m^2 \phi^* \phi$$

ist invariant unter $\phi \rightarrow e^{i\alpha} \phi \quad (\Rightarrow j^\mu = 0)$

\Rightarrow erhaltene Strom:

$$j^\mu = i [(\partial^\mu \phi^*) \phi - \phi^* (\partial^\mu \phi)] \quad (\rightarrow \text{Übung})$$

(Bemerkung:

Hier muss über die unabhängigen Felder ϕ_1 und ϕ_2 summiert werden. Äquivalent - und technisch einfacher - ist es ϕ und ϕ^* als unabhängige Felder aufzufassen.)

Raum-Zeit-Transformationen

Betrachte $x^\nu \rightarrow x^\nu + a^\nu \quad (a^\nu \text{ infinitesimal})$

Das entspricht einer Transformation des Feldes

$$\phi(x) \rightarrow \phi(x+a) = \phi(x) + \partial_\nu \phi(x) a^\nu$$

(Dies sind vier Transformationen, eine für jede Komponente!)

Da \mathcal{L} (wie ϕ) ein Skalarfeld ist, transformiert es sich genauso.

$$\mathcal{L} \rightarrow \mathcal{L} + \partial_\nu \mathcal{L} a^\nu = \mathcal{L} + a^\nu \partial_\mu \mathcal{L} g^\mu{}_\nu$$

$$\alpha = a^\nu$$

$$\Rightarrow (\Delta\phi)_\nu = \partial_\nu \phi, \quad J^\mu{}_\nu = \mathcal{L} g^\mu{}_\nu, \quad \nu = 0, \dots, 3$$

2) 4 erhaltene Ströme:

$$\partial_\mu T^\mu{}_\nu = 0 \quad \text{mit} \quad T^\mu{}_\nu = \frac{\partial \mathcal{L}}{\partial (\partial_\mu \phi)} \partial_\nu \phi - \mathcal{L} g^\mu{}_\nu$$

$$(T^{\mu\nu}) = \text{„Energie - Impuls - Tensor“}$$

$$T^{00} = \frac{\partial \mathcal{L}}{\partial \dot{\phi}} \dot{\phi} - \mathcal{L} \equiv \mathcal{H}$$

$$c) \text{ erhaltene Ladung: } \int d^3x \mathcal{H} = H \equiv E$$

Energieerhaltung!

$$T^{0i} = \frac{\partial \mathcal{L}}{\partial \dot{\phi}} \partial^i \phi = -\pi(x) \partial^i \phi(x)$$

$$2) P^i := \int d^3x T^{0i} = - \int d^3x \pi(x) \partial^i \phi(x)$$

$\hat{=}$ erhaltene Impuls des Feldes
(\neq kanon. konjugierter Impuls!)

II.3 Quantisierung des Klein-Gordon-Feldes

Quantisierung der klass. Mechanik:

Koordinaten und Impulse \rightarrow Operatoren

mit

$$[q_m, p_m] = i \delta_{mm} ,$$

$$[q_m, q_n] = [p_m, p_n] = 0$$

(gilt im Schrödinger-Bild oder im Heisenberg-Bild zu gleichen Zeiten: $[q_m(t), p_m(t)] = i \delta_{mm}$ etc.)

Analoges Vorgehen für Felder:

$$[\phi(\vec{x}), \pi(\vec{x}')] = i \delta^3(\vec{x} - \vec{x}')$$
$$[\phi(\vec{x}), \phi(\vec{x}')] = [\pi(\vec{x}), \pi(\vec{x}')] = 0$$

(im Schrödinger-Bild;

Heisenberg-Bild: $[\phi(\vec{x}, t), \pi(\vec{x}', t)] = i \delta^3(\vec{x} - \vec{x}')$ etc.)

ϕ, π Operatoren $\Rightarrow \mathcal{H}$ ebenfalls Operator
 $\Rightarrow H$ " " "

Berechnung des Eigenwert-Spektrums von H

Fourier-Transformation des klassischen Feldes:

$$\phi(\vec{x}, t) = \int \frac{d^3 p}{(2\pi)^3} e^{i \vec{p} \cdot \vec{x}} \phi(\vec{p}, t)$$

Klein-Gordon-Gl.: $(\frac{\partial^2}{\partial t^2} - \vec{\nabla}^2 + m^2) \phi(\vec{x}, t) = 0$

$\Rightarrow [\frac{\partial^2}{\partial t^2} + (\vec{p}^2 + m^2)] \phi(\vec{p}, t) = 0$

Vergleich mit harmon. Oszillator: $\ddot{q}(t) + \omega^2 q(t) = 0$

\Rightarrow Jede Fourier-Mode entspricht einem harmon. Oszillator mit Frequenz $\omega_{\vec{p}} = \sqrt{\vec{p}^2 + m^2}$

↳ Betrachte quantenmechan. harmon. Oszillator:

$$H = \frac{p^2}{2m} + \frac{1}{2} m \omega^2 q^2 = \frac{1}{2} \tilde{p}^2 + \frac{1}{2} \omega^2 \tilde{q}^2$$

mit $\tilde{q} := \sqrt{m} q$, $\tilde{p} = \frac{p}{\sqrt{m}} \Rightarrow [\tilde{q}, \tilde{p}] = [q, p] = i$

2) Leiteroperatoren: $\tilde{q} = \frac{1}{\sqrt{2\omega}} (a + a^\dagger)$, $\tilde{p} = -i\sqrt{\frac{\omega}{2}} (a - a^\dagger)$

mit $[a, a^\dagger] = 1$

$\Rightarrow [\tilde{q}, \tilde{p}] = i$ ✓

und $H = \omega (a^\dagger a + \frac{1}{2})$

$\Rightarrow [H, a^\dagger] = \omega a^\dagger$, $[H, a] = -\omega a$

Definiere $|0\rangle$ - durch $a|0\rangle = 0$

und $|n\rangle = \frac{1}{\sqrt{n!}} (a^\dagger)^n |0\rangle$

$\Rightarrow H|0\rangle = \frac{1}{2} \omega |0\rangle$

$H|n\rangle = (n + \frac{1}{2}) \omega |n\rangle$

→ $\{|n\rangle\}$ sind die Eigenzustände von H
mit dem Energiespektrum $(n + \frac{1}{2})\omega$.
Insbesondere ist $|0\rangle$ der Grundzustand
mit der Grundzustandsenergie $\frac{1}{2}\omega$.

$$\text{Ferner gilt: } \begin{aligned} a^\dagger |n\rangle &= \sqrt{n+1} |n+1\rangle \\ a |n\rangle &= \sqrt{n} |n-1\rangle \end{aligned}$$

Analoges Vorgehen für Quantenfelder (Schrödinger-Bild):

$$\begin{aligned} \phi(\vec{x}) &= \int \frac{d^3p}{(2\pi)^3} \frac{1}{\sqrt{2\omega_{\vec{p}}}} \left(a_{\vec{p}} e^{i\vec{p}\cdot\vec{x}} + a_{\vec{p}}^\dagger e^{-i\vec{p}\cdot\vec{x}} \right) \\ &= \int \frac{d^3p}{(2\pi)^3} \frac{1}{\sqrt{2\omega_{\vec{p}}}} \left(a_{\vec{p}} + a_{-\vec{p}}^\dagger \right) e^{i\vec{p}\cdot\vec{x}} \end{aligned}$$

$$\begin{aligned} \pi(\vec{x}) &= \int \frac{d^3p}{(2\pi)^3} (-i) \sqrt{\frac{\omega_{\vec{p}}}{2}} \left(a_{\vec{p}} e^{i\vec{p}\cdot\vec{x}} - a_{\vec{p}}^\dagger e^{-i\vec{p}\cdot\vec{x}} \right) \\ &= \int \frac{d^3p}{(2\pi)^3} (-i) \sqrt{\frac{\omega_{\vec{p}}}{2}} \left(a_{\vec{p}} - a_{-\vec{p}}^\dagger \right) e^{i\vec{p}\cdot\vec{x}} \end{aligned}$$

mit $[a_{\vec{p}}, a_{\vec{p}'}^\dagger] = (2\pi)^3 \delta^3(\vec{p} - \vec{p}') \quad ([a_{\vec{p}}, a_{\vec{p}'}] = [a_{\vec{p}}^\dagger, a_{\vec{p}'}^\dagger] = 0)$

$$\Rightarrow [\phi(\vec{x}), \pi(\vec{x}')] = i \delta^3(\vec{x} - \vec{x}') \quad (\rightarrow \text{Übung})$$

und

$$H = \int d^3x \left(\frac{1}{2} \pi^2(\vec{x}) + \frac{1}{2} (\vec{\nabla} \phi(\vec{x}))^2 + \frac{1}{2} m^2 \phi^2(\vec{x}) \right)$$

$$= \dots \quad (\rightarrow \text{Übung})$$

$$= \int \frac{d^3p}{(2\pi)^3} \omega_{\vec{p}} \left(a_{\vec{p}}^\dagger a_{\vec{p}} + \frac{1}{2} [a_{\vec{p}}, a_{\vec{p}}^\dagger] \right)$$

$(2\pi)^3 \delta(0) \Rightarrow$ unendl. Vakuumenergie

Da nur Energiedifferenzen messbar sind, kann die unendliche Vakuumenergie - wie in der Löchertheorie - weggelassen werden.

Analog zum harmon. Oszillator gilt:

$$[H, a_{\vec{p}}^\dagger] = \omega_{\vec{p}} a_{\vec{p}}^\dagger, \quad [H, a_{\vec{p}}] = -\omega_{\vec{p}} a_{\vec{p}}$$

↳ Grundzustand (= "Vakuum"): $|0\rangle$ mit $a_{\vec{p}}|0\rangle = 0 \quad \forall \vec{p}$

⇒ $H|0\rangle = 0$ (nach Weglassen der Nullpunktsenergien)

angeregte Zustände:

$a_{\vec{p}_1}^\dagger a_{\vec{p}_2}^\dagger \dots |0\rangle =$ Eigenzustand von H
mit Energie $\omega_{\vec{p}_1} + \omega_{\vec{p}_2} + \dots$

Beachte: $\omega_{\vec{p}} = +\sqrt{\vec{p}^2 + m^2}$

⇒ Alle Zustände haben positive Energie!

Gesamtimpulsoperator (vgl. S. II-10):

$$\begin{aligned} \vec{P} &= - \int d^3x \pi(\vec{x}) \vec{\nabla} \phi(\vec{x}) \\ &= \int \frac{d^3p}{(2\pi)^3} \frac{1}{2} \vec{p} \left(a_{\vec{p}}^\dagger a_{\vec{p}} - a_{-\vec{p}}^\dagger a_{-\vec{p}} + \underbrace{[a_{\vec{p}}, a_{\vec{p}}^\dagger] + a_{\vec{p}} a_{-\vec{p}} - a_{-\vec{p}}^\dagger a_{\vec{p}}^\dagger}_{\text{trägt nicht zum Integral bei (Integral antisymm. in } \vec{p} \text{)}} \right) \\ &= \int \frac{d^3p}{(2\pi)^3} \vec{p} a_{\vec{p}}^\dagger a_{\vec{p}} \end{aligned}$$

$$\Rightarrow \vec{P} a_{\vec{p}}^\dagger |0\rangle = \vec{p} a_{\vec{p}}^\dagger |0\rangle,$$

$$\vec{P} a_{\vec{p}_1}^\dagger a_{\vec{p}_2}^\dagger \dots |0\rangle = (\vec{p}_1 + \vec{p}_2 + \dots) a_{\vec{p}_1}^\dagger a_{\vec{p}_2}^\dagger \dots |0\rangle$$

→ Interpretation:

$a_{\vec{p}}^{\dagger}$ erzeugt Teilchen mit Impuls \vec{p}
und Energie $\omega_{\vec{p}} = \sqrt{\vec{p}^2 + m^2} \equiv E_{\vec{p}}$
 $\equiv E_{\vec{p}}$

$$a_{\vec{p}}^{\dagger} a_{\vec{q}}^{\dagger} |0\rangle = a_{\vec{q}}^{\dagger} a_{\vec{p}}^{\dagger} |0\rangle$$

⇒ Die Klein-Gordon-Teilchen gehorchen der Bose-Einstein-Statistik!
Insbesondere können beliebig viele Teilchen mit gleichem Impuls erzeugt werden.

Normierung:

• Vakuum: $\langle 0 | 0 \rangle = 1$

• Ein-Teilchen-Zustände: $|\vec{p}\rangle = \sqrt{2E_{\vec{p}}} a_{\vec{p}}^{\dagger} |0\rangle$

$$\Rightarrow \langle \vec{p} | \vec{q} \rangle = 2E_{\vec{p}} (2\pi)^3 \delta^3(\vec{p} - \vec{q})$$

(Grund für Faktor $\sqrt{2E_{\vec{p}}}$)

$(2\pi)^3 \delta^3(\vec{p} - \vec{q}) = \int d^3x e^{i(\vec{p} - \vec{q}) \cdot \vec{x}}$ ist nicht Lorentz-invariant

Lorentz-Boost: \sim Volumen $\sim \frac{1}{\gamma}$ wg Lorentz-Kontraktion

$$E_{\vec{p}} \sim \gamma$$

$$\Rightarrow E_{\vec{p}} (2\pi)^3 \delta^3(\vec{p} - \vec{q}) \text{ Lorentz-invariant}$$

Faktor 2 Konvention in Anlehnung an den Zusammenhang zwischen $\phi(x)$ und $a_{\vec{p}}$)

Vollständigkeitsrelation für Ein-Teilchen-Zustände:

$$(1)_{1\text{-Teilchen}} = \int \frac{d^3p}{(2\pi)^3} \frac{1}{2E_{\vec{p}}} |\vec{p}\rangle \langle \vec{p}|$$

$$(\Rightarrow) \langle \vec{p} | (1)_{1\text{-Teilchen}} | \vec{q} \rangle = \langle \vec{p} | \vec{q} \rangle \quad \checkmark$$

$$\left(\text{Beachte: } \underbrace{\int \frac{d^3p}{(2\pi)^3} \frac{1}{2E_{\vec{p}}}}_{\text{Lorentz-invariantes}} = \int \frac{d^4p}{(2\pi)^4} 2\pi \delta(p^2 - m^2) \theta(p^0) \right)$$

↑
„On-shell“-
Bedingung
($p_0^2 = E_{\vec{p}}^2$)

Interpretation von $\phi(\vec{x})$:

$$\phi(\vec{x}) |0\rangle = \int \frac{d^3p}{(2\pi)^3} \frac{1}{2E_{\vec{p}}} e^{-i\vec{p}\cdot\vec{x}} |\vec{p}\rangle$$

$$\Rightarrow \langle \vec{p} | \phi(\vec{x}) |0\rangle = \int \frac{d^3p'}{(2\pi)^3} \frac{1}{2E_{\vec{p}'}} e^{-i\vec{p}'\cdot\vec{x}} \langle \vec{p} | \vec{p}' \rangle = e^{-i\vec{p}\cdot\vec{x}}$$

Vergleich mit nichtrel. AM: $\langle \vec{p} | \vec{x} \rangle \sim e^{-i\vec{p}\cdot\vec{x}}$

$\Rightarrow \phi(\vec{x})$ erzeugt ein Teilchen am Ort \vec{x} .

II.4 Klein-Gordon-Feld im Heisenberg-Bild

Heisenberg-Bild: zeitabh. Operatoren \Rightarrow zeitabh. Felder

$$\phi(x) = \phi(t, \vec{x}) = e^{iHt} \phi(\vec{x}) e^{-iHt}, \quad \phi(\vec{x}) \equiv \phi_S(\vec{x})$$

$$\pi(x) = \pi(t, \vec{x}) = e^{iHt} \pi(\vec{x}) e^{-iHt}$$

$$\Rightarrow i \frac{\partial}{\partial t} \phi(x) = [\phi(x), H] \quad (\text{Heisenberg'sche Bewegungsgl.})$$

$$= \dots = i \pi(x)$$

$$i \frac{\partial}{\partial t} \pi(x) = \dots = i (\vec{\nabla}^2 - m^2) \phi(x)$$

$$\Rightarrow -\frac{\partial^2}{\partial t^2} \phi(x) = (-\vec{\nabla}^2 + m^2) \phi(x) \quad \text{Klein-Gordon-Gl.} \quad \checkmark$$

Zeitabhängigkeit der Erzeugungs und Vernichtungsoperatoren:

$$[H, a_{\vec{p}}] = -E_p a_{\vec{p}} \Rightarrow H a_{\vec{p}} = a_{\vec{p}} (H - E_p)$$

$$\Rightarrow H^n a_{\vec{p}} = a_{\vec{p}} (H - E_p)^n$$

$$\Rightarrow e^{iHt} a_{\vec{p}} = a_{\vec{p}} e^{i(H - E_p)t}$$

$$\Rightarrow e^{iHt} a_{\vec{p}} e^{-iHt} = a_{\vec{p}} e^{-iE_p t}$$

$$e^{iHt} a_{\vec{p}}^\dagger e^{-iHt} = a_{\vec{p}}^\dagger e^{iE_p t} \quad (\text{analog})$$

$$\Rightarrow \phi(t, \vec{x}) = \int \frac{d^3 p}{(2\pi)^3} \frac{1}{\sqrt{2E_p}} \left(a_{\vec{p}} e^{-ip \cdot x} + a_{\vec{p}}^\dagger e^{ip \cdot x} \right) \Big|_{p_0 = E_p}$$

$$\pi(t, \vec{x}) = \frac{\partial}{\partial t} \phi(t, \vec{x})$$

Interpretation:

- Teilchen-Bild: $\phi(x) =$ Linearkomb. von Erzeugern und Vernichtern
- Wellen-Bild: $\phi(x) =$ Linearkomb. von ebenen Wellen (Lösungen der Klein-Gordon-Gl.)

→ Teilchen- und Wellenbild in der QFT eng verknüpft.

- $a_{\vec{p}} e^{-i p \cdot x} = a_{\vec{p}} e^{-i(p_0 t - \vec{p} \cdot \vec{x})}$, $p_0 \equiv E_p \equiv +\sqrt{\vec{p}^2 + m^2}$

„Moden positive Frequenz“

vernichten Teilchen mit Impuls \vec{p} und Energie $E_p > 0$

- $a_{\vec{p}}^\dagger e^{i p \cdot x} = a_{\vec{p}}^\dagger e^{i(p_0 t - \vec{p} \cdot \vec{x})}$

„Moden negative Frequenz“

erzeugen Teilchen mit Impuls \vec{p} und Energie $E_p > 0$

Zeitentwicklung: $\phi(x) = \phi(t, \vec{x}) = e^{i H t} \phi(0, \vec{x}) e^{-i H t}$

analog: $\phi(\vec{x}) = e^{-i \vec{P} \cdot \vec{x}} \phi(0) e^{+i \vec{P} \cdot \vec{x}}$ (→ Übung)

(\vec{P} = Impulsoperator)

=> $\phi(x) = e^{i(Ht - \vec{P} \cdot \vec{x})} \phi(0) e^{-i(Ht - \vec{P} \cdot \vec{x})} = e^{i \vec{P} \cdot \vec{x}} \phi(0) e^{-i \vec{P} \cdot \vec{x}}$

mit $(P^\mu) = \begin{pmatrix} H \\ \vec{P} \end{pmatrix}$

II.5 Kausalität

Amplitude für ein Teilchen von $y = \begin{pmatrix} y^0 \\ \vec{y} \end{pmatrix}$ nach $x = \begin{pmatrix} x^0 \\ \vec{x} \end{pmatrix}$

zu propagieren:

$\mathcal{D}(x-y) = \langle 0 | \phi(x) \phi(y) | 0 \rangle$

$= \int \frac{d^3 p}{(2\pi)^3} \frac{1}{2E_p} e^{-i p \cdot (x-y)}$ (→ Übung)

← Lorentz-Skalar
 Lorentz-inv. Integralmaß

=> $\mathcal{D}(x-y)$ = Skalarfeld

1. Fall: $x-y$ zeitartig ($(x-y)^2 > 0$)

o. B. d. A. $x^0 - y^0 = t$, $\vec{x} - \vec{y} = 0$

$$\Rightarrow \mathcal{D}(x-y) = \int \frac{d^3 p}{(2\pi)^3} \frac{1}{2E_p} e^{-iE_p t} \xrightarrow{t \text{ sehr groß}} \sim e^{-imt}$$

2. Fall: $x-y$ raumarzig ($(x-y)^2 < 0$)

o. B. d. A. $x^0 - y^0 = 0$, $\vec{x} - \vec{y} = \vec{r}$

$$\Rightarrow \mathcal{D}(x-y) = \int \frac{d^3 p}{(2\pi)^3} \frac{1}{2E_p} e^{i\vec{p} \cdot \vec{r}} \xrightarrow{r = |\vec{r}| \text{ sehr groß}} \sim e^{-mr}, \quad r = |\vec{r}|$$

Kausalität verletzt?

Kausalität:

Eine Messung am Raumzeitpunkt x darf eine Messung am Raumzeitpunkt y nicht beeinflussen, wenn die Separation $x-y$ raumarzig ist.

klassische Feldtheorie: Felder (z.B. \vec{E} -Feld) können an allen Raumzeitpunkten simultan beliebig genau gemessen werden.

QM: Observable können simultan scharf gemessen werden, wenn die zugehörigen Operatoren vertauschen.

→ Forderung in der QFT:

$$[\phi(x), \phi(y)] \stackrel{!}{=} 0 \quad \text{für raumarzige } (x-y)$$

„Mikrokausalität“

Überprüfung der Mikrokausalität:

$$[\phi(x), \phi(y)]$$

$$= \int \frac{d^3p}{(2\pi)^3} \frac{1}{\sqrt{2E_p}} \int \frac{d^3p'}{(2\pi)^3} \frac{1}{\sqrt{2E_{p'}}} [a_p e^{-ip \cdot x} + a_p^\dagger e^{ip \cdot x}, a_{p'} e^{-ip' \cdot y} + a_{p'}^\dagger e^{ip' \cdot y}]$$

$$= \int \frac{d^3p}{(2\pi)^3} \frac{1}{\sqrt{2E_p}} \int \frac{d^3p'}{(2\pi)^3} \frac{1}{\sqrt{2E_{p'}}} (e^{-ip \cdot x + ip' \cdot y} - e^{ip \cdot x - ip' \cdot y}) (2\pi)^3 \delta^3(\vec{p} - \vec{p}')$$

$$= \int \frac{d^3p}{(2\pi)^3} \frac{1}{2E_p} (e^{-ip \cdot (x-y)} - e^{ip \cdot (x-y)})$$

$$= \mathcal{D}(x-y) - \mathcal{D}(y-x)$$

- $(x-y)$ raumartig:

$\Rightarrow (y-x)$ kann durch eine Lorentz-Transf. in $(x-y)$ überführt werden.

Da $\mathcal{D}(y-x)$ Lorentz-invariant ist, folgt $\mathcal{D}(y-x) = \mathcal{D}(x-y)$.

$$\Rightarrow [\phi(x), \phi(y)] = 0$$

Kausalität nicht verletzt!

- Dies schließt auch Kausalität bezüglich anderer Operatoren mit ein, die Funktionen von $\phi(x)$ sind (wie $\pi(x) = \frac{\partial \phi(x)}{\partial t}$).

- $(x-y)$ zeitartig:

$(y-x)$ kann nicht durch eine Lorentz-Transf. in $(x-y)$ überführt werden.

$$\hookrightarrow [\phi(x), \phi(y)] \neq 0 \quad \text{möglich}$$

• komplexes Klein-Gordon Feld (→ Übung)

$$\phi(x) = \int \frac{d^3p}{(2\pi)^3} \frac{1}{\sqrt{2E_p}} \left(a_{\vec{p}} e^{-ip \cdot x} + b_{\vec{p}}^\dagger e^{ip \cdot x} \right)$$

$$\neq \phi^\dagger(x) = \int \frac{d^3p}{(2\pi)^3} \frac{1}{\sqrt{2E_p}} \left(b_{\vec{p}} e^{-ip \cdot x} + a_{\vec{p}}^\dagger e^{ip \cdot x} \right)$$

$$[a_{\vec{p}}, a_{\vec{p}'}^\dagger] = [b_{\vec{p}}, b_{\vec{p}'}^\dagger] = (2\pi)^3 \delta^3(\vec{p} - \vec{p}')$$

$$[a_{\vec{p}}, b_{\vec{p}'}^\dagger] = (\text{alle anderen}) = 0$$

erhaltene Ladung: $Q \sim \int \frac{d^3p}{(2\pi)^3} (a_{\vec{p}}^\dagger a_{\vec{p}} - b_{\vec{p}}^\dagger b_{\vec{p}})$

⇒ $a_{\vec{p}}^\dagger$ und $b_{\vec{p}}^\dagger$ erzeugen Teilchen entgegengesetzter Ladung und gleicher Masse: Teilchen und Antiteilchen!

$$[\phi(x), \phi^\dagger(y)] = D_a(x-y) - D_b(y-x)$$

Mikrokausalität:

Die Beiträge der von y nach x propagierenden Teilchen heben sich für raumartige $(x-y)$ mit den Beiträgen der von x nach y propagierenden Antiteilchen weg!

II.6 Der Klein-Gordon-Propagator

Green'sche Funktion des Klein-Gordon-Operators:

$$(\partial_\mu \partial^\mu + m^2) G(x-y) = -i \delta^4(x-y)$$

Fourier-Transformation:

$$G(x-y) = \int \frac{d^4p}{(2\pi)^4} e^{-ip \cdot (x-y)} \tilde{G}(p)$$

$$\Rightarrow (\partial_\mu \partial^\mu + m^2) G(x-y) = \int \frac{d^4 p}{(2\pi)^4} e^{-i p \cdot (x-y)} (-p^2 + m^2) \tilde{G}(p)$$

$$\stackrel{!}{=} -i \int \frac{d^4 p}{(2\pi)^4} e^{-i p \cdot (x-y)}$$

$$\Rightarrow \tilde{G}(p) = \frac{i}{p^2 - m^2}$$

$$\Rightarrow G(x-y) = \int \frac{d^4 p}{(2\pi)^4} e^{-i p \cdot (x-y)} \frac{i}{p^2 - m^2}$$

$$\frac{1}{p^2 - m^2} = \frac{1}{p_0^2 - \vec{p}^2 - m^2} = \frac{1}{p_0^2 - E_p^2} = \frac{1}{2E_p} \left(\frac{1}{p_0 - E_p} - \frac{1}{p_0 + E_p} \right)$$

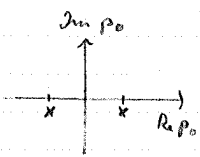
$$\Rightarrow G(x-y) = \int \frac{d^3 \vec{p}}{(2\pi)^3} e^{i \vec{p} \cdot (\vec{x} - \vec{y})} \frac{1}{2E_p} \underbrace{i \int \frac{dp_0}{2\pi} e^{-i p_0 (x^0 - y^0)} \left(\frac{1}{p_0 - E_p} - \frac{1}{p_0 + E_p} \right)}_{=: F(x^0 - y^0)}$$

Infinitesimale Verschiebung der Pole bei $p_0 = \pm E_p$ in die komplexe Ebene:

1. Variante:

$$p_0 \rightarrow p_0 + i\epsilon$$

Pole bei $p_0 = \pm E_p - i\epsilon$



$$\Rightarrow F(x^0 - y^0) \rightarrow i \int_{-\infty}^{\infty} \frac{dp_0}{2\pi} e^{-i p_0 (x^0 - y^0)} \left(\frac{1}{p_0 - E_p + i\epsilon} - \frac{1}{p_0 + E_p + i\epsilon} \right)$$

Schließe Integrationskontur so, dass der Kreisbogen keinen Beitrag liefert

$x^0 - y^0 > 0$: $\rightsquigarrow i \int \frac{dp_0}{2\pi} \dots \rightsquigarrow$ Pole bei $p_0 = \pm E_p - i\epsilon$

$$\Rightarrow \overline{F}(x^0 - y^0) = -2\pi i \frac{i}{2\pi} \left(e^{-i E_p (x^0 - y^0)} - e^{i E_p (x^0 - y^0)} \right)$$

$$= e^{-i E_p (x^0 - y^0)} - e^{i E_p (x^0 - y^0)}$$

$x^0 - y^0 < 0$: \leadsto $i \int \frac{d^3 p_0}{2\pi} \dots \leadsto$ keine Pole innerhalb des Integrationsweges

$\Rightarrow F(x^0 - y^0) = 0$

$\Rightarrow G(x-y) \rightarrow \theta(x^0 - y^0) \int \frac{d^3 p}{(2\pi)^3} e^{i\vec{p} \cdot (\vec{x} - \vec{y})} \frac{1}{2E_p} (e^{-iE_p(x^0 - y^0)} - e^{iE_p(x^0 - y^0)})$

Subst. $\vec{p} \rightarrow -\vec{p}$ im zweiten Term
 $= \theta(x^0 - y^0) \int \frac{d^3 p}{(2\pi)^3} \frac{1}{2E_p} (e^{-i\vec{p} \cdot (x-y)} - e^{i\vec{p} \cdot (x-y)}) \Big|_{p^0 = E_p}$

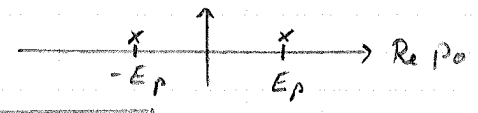
$=: D_R(x-y)$ „retardierter Propagator“

Vergleich mit S. II-20:

$D_R(x-y) = \theta(x^0 - y^0) [\phi(x), \phi(y)]$

2. Variante: $p_0 \rightarrow p_0 - i\epsilon \leadsto$ Pole bei $p_0 = \pm E_p + i\epsilon$

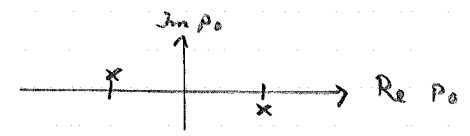
2) „avancierter Propagator“



$D_A(x-y) = \theta(y^0 - x^0) [\phi(y), \phi(x)]$

3. Variante: $E_p \rightarrow E_p - i\epsilon \leadsto$ Pole bei $p_0 = \pm (E_p - i\epsilon)$

2) „Feynman-Propagator“



$D_F(x-y) = i \int \frac{d^4 p}{(2\pi)^4} e^{-i\vec{p} \cdot (x-y)} \frac{1}{2E_p} \left(\frac{1}{p_0 - E_p + i\epsilon} - \frac{1}{p_0 + E_p - i\epsilon} \right)$

$$\begin{aligned}
 2) \quad \mathcal{D}_F(x-y) &= \int \frac{d^4 p}{(2\pi)^4} e^{-ip \cdot (x-y)} \frac{i}{p^2 - m^2 + i\epsilon} \\
 &= \theta(x^0 - y^0) \langle 0 | \phi(x) \phi(y) | 0 \rangle \\
 &\quad + \theta(y^0 - x^0) \langle 0 | \phi(y) \phi(x) | 0 \rangle \\
 &=: \langle 0 | T \phi(x) \phi(y) | 0 \rangle
 \end{aligned}$$

$T =$ Zeitordnungsoperator:

ordnet die nachfolgenden Operatoren nach ihrem Zeitargument (frühestes nach rechts, spätestes nach links).

- \mathcal{D}_R , \mathcal{D}_A und \mathcal{D}_F sind ebenfalls Green'sche Funktionen zum Klein-Gordon-Operator.